

МОСКОВСКИЙ ГОСУДАРСТВЕННЫЙ УНИВЕРСИТЕТ  
имени М.В. ЛОМОНОСОВА

НАУЧНО–ИССЛЕДОВАТЕЛЬСКИЙ ИНСТИТУТ  
ЯДЕРНОЙ ФИЗИКИ имени Д.В. СКОБЕЛЬЦЫНА

С.Ю. Вернов

**ПОСТРОЕНИЕ ТОЧНЫХ РЕШЕНИЙ В  
ДВУХПОЛЕВЫХ КОСМОЛОГИЧЕСКИХ  
МОДЕЛЯХ**

Препринт НИИЯФ МГУ 2007–12/833

С.Ю. Вернов

Научно-Исследовательский Институт Ядерной Физики МГУ

e-mail: svernov@theory.sinp.msu.ru

## ПОСТРОЕНИЕ ТОЧНЫХ РЕШЕНИЙ В ДВУХПОЛЕВЫХ КОСМОЛОГИЧЕСКИХ МОДЕЛЯХ

Препринт НИИЯФ МГУ 2007–12/833

### Аннотация

Построена модель тёмной энергии с фантомным скалярным полем, обычным скалярным полем и полиномиальным потенциалом, происходящим из полевой теории струн. Найдено двухпараметрическое множество точных решений уравнений Фридмана. Найден потенциал, удовлетворяющий полученным из теории струн условиям, и такой, что некоторые точные решения соответствуют при больших временах параметру состояния  $w_{DE} > -1$ , тогда как другие соответствуют  $w_{DE} < -1$ . Показана эффективность метода суперпотенциала при поиске новых точных решений.

Ключевые слова: тёмная энергия, фантом, космология, струнная теория поля, точные решения

S.Yu. Vernov

Skobeltsyn Institute of Nuclear Physics MSU

e-mail: svernov@theory.sinp.msu.ru

## CONSTRUCTION OF EXACT SOLUTIONS IN TWO-FIELDS COSMOLOGICAL MODELS

Preprint SINP MSU 2007–12/833

### Abstract

A dark energy model with a phantom scalar field, an usual scalar field and the string field theory inspired polynomial potential has been constructed. A two-parameter set of exact solutions to the Friedmann equations has been found. We have constructed such stringy inspired potential that some exact solutions correspond to the state parameter  $w_{DE} > -1$  at large time, whereas other ones correspond to  $w_{DE} < -1$  at large time. We demonstrate that the superpotential method is very effective to seek new exact solutions.

Keywords: dark energy, phantom, cosmology, string field theory, exact solutions

© С.Ю. Вернов, 2007

© НИИЯФ МГУ, 2007

# 1 ВВЕДЕНИЕ

Одним из наиболее важных результатов, недавно полученных в космологии, является заключение о том, что комбинированный анализ данных, полученных при изучении суперновых типа Ia, галактических кластеров и на эксперименте WMAP (Wilkinson Microwave Anisotropy Probe), убедительно показывает ускоренное расширение Вселенной [1, 2].

Космологическое ускорение указывает на то, что в настоящее время во Вселенной доминирует равномерно распределенная медленно изменяющаяся космическая жидкость с отрицательным давлением, так называемая тёмная энергия [3, 4, 5, 6, 7, 8]. Для спецификации различных типов космической жидкости обычно используется феноменологическое соотношение между давлением (лагранжевой плотностью)  $p$  и плотностью энергии  $\rho$  каждой из компонент жидкости  $p = w\rho$ . Функция  $w$  называется параметром состояния. Современные эксперименты [1, 2, 3, 4] свидетельствуют о том, что Вселенная является пространственно плоской и в настоящее время параметр состояния тёмной энергии близок к  $-1$ :  $w_{DE} = -1 \pm 0.2$ . Параметр состояния  $w_{DE} \equiv -1$  соответствует космологической константе. Как отмечено в [9], параметр состояния, эволюционирующий от  $w_{DE} \simeq 0$  до  $w_{DE} \leq -1$ , лучше отвечает экспериментальным данным, чем  $w_{DE} \equiv -1$ .

Стандартным способом получения зависящего от времени параметра состояния является включение скалярных полей в космологическую модель. При достаточно общих предположениях в рамках четырёхмерной модели с одним скалярным полем может быть реализована только одна из возможностей: или  $w_{DE} \geq -1$  (модели квинтэссенции), или  $w_{DE} \leq -1$  (фантомные модели) [10]. Двухполевые модели с пересечением барьера космологической константы  $w_{DE} = -1$  известны как квинтом (quintom) модели и включают одно фантомное скалярное поле и одно стандартное скалярное поле. Отметим, что большинство феноменологических моделей, описывающих пересечение барьера космологической константы [11, 12, 13, 14], содержат либо несколько скалярных полей, либо модифицированную гравитацию.

В настоящее время струнные и D-бренные модели находят космологические приложения, связанные с ускоренным расширением Вселенной. В феноменологических моделях, описывающих случай  $w_{DE} < -1$ , все стандартные энергетические условия нарушены и есть проблемы неустойчивости как на классическом, так и на квантовом уровне (см. [5, 15, 16] и ссылки у них). Возможным способом избежать проблему неустойчивости фантомной модели является её построение как эффективной модели, возникающей из более фундаментальной теории с нормальным знаком кинетического члена. В частности, если мы рассмотрим модель с высшими производными, например, содержащую  $\phi e^{-\square\phi}$ , то первая нетривиальная аппроксимация даёт  $\phi e^{-\square\phi} \simeq \phi^2 - \phi\square\phi$ , то есть кинетический член имеет неправильный (духовый) знак. Оказывается, что именно такая возможность появляется в полевой теории струн (SFT) [17] (см. также [14, 16]), а именно, в теории фермионной NSR струны с учетом GSO-сектора [17, 18]. В качестве скалярного поля  $\phi$  выступает тахион открытой струны, который, согласно гипотезе А. Сена (см. обзоры [19]), описывает распад браны, при котором происходит медленный переход в стабильный вакуум, соответствующий состояниям замкнутой струны.

Четырёхмерная гравитационная модель с фантомным скалярным полем рассматривается как приближение модели теории струн, что даёт возможность решить проблему нестабильности.

В этой статье мы рассматриваем струнную гравитационную модель с двумя скалярными полями и полиномиальным потенциалом. Предлагаемая модель является обобщением однополевой космологической модели, предложенной в [18]. Первые двухполевые обобщения данной модели [20] обладают однопараметрическими семействами точных решений. В этой статье мы строим новую модель с двухпараметрическим семейством точных решений. При больших временах для некоторых значений параметров  $w_{DE} < -1$ , тогда как для других  $w_{DE} > -1$ . Отметим, что различное поведение  $w_{DE}$  при больших временах соответствует одному и тому же потенциалу и одинаковым асимптотическим условиям для полей.

## 2 ДВУХПОЛЕВЫЕ МОДЕЛИ, СВЯЗАННЫЕ С ТЕОРИЕЙ СТРУН

Рассматривается модель пространственно плоской фридмановской Вселенной с фантомным скалярным полем  $\phi$  и стандартным скалярным полем  $\xi$ . Фантомное поле представляет из себя тахион открытой струны, тогда как обычное скалярное поле соответствует тахиону замкнутой струны [17, 20, 21, 22]. Поскольку происхождение скалярных полей связано с теорией струн, действие содержит характерную массу струны  $M_s$  и безразмерную константу взаимодействия открытых струн  $g_o$ :

$$S = \int d^4x \sqrt{-g} \left( \frac{M_P^2}{2M_s^2} R + \frac{1}{g_o^2} \left( \frac{1}{2} g^{\mu\nu} (\partial_\mu \phi \partial_\nu \phi - \partial_\mu \xi \partial_\nu \xi) - V(\phi, \xi) \right) \right), \quad (1)$$

где  $M_P$  — масса Планка. Фридмановская метрика  $g_{\mu\nu}$  является пространственно плоской:

$$ds^2 = - dt^2 + a^2(t) (dx_1^2 + dx_2^2 + dx_3^2),$$

где  $a(t)$  — масштабный фактор. Координаты  $(t, x_i)$  и поля  $\phi$  и  $\xi$  являются безразмерными. Если скалярные поля зависят только от времени, то уравнения движения имеют следующий вид:

$$H^2 = \frac{1}{3m_p^2} \left( -\frac{1}{2} \dot{\phi}^2 + \frac{1}{2} \dot{\xi}^2 + V \right), \quad (2)$$

$$\dot{H} = \frac{1}{2m_p^2} (\dot{\phi}^2 - \dot{\xi}^2), \quad (3)$$

$$\ddot{\phi} + 3H\dot{\phi} = \frac{\partial V}{\partial \phi}, \quad \ddot{\xi} + 3H\dot{\xi} = -\frac{\partial V}{\partial \xi}. \quad (4)$$

Для краткости мы используем безразмерный параметр  $m_p^2 = g_o^2 M_P^2 / M_s^2$ . Здесь  $H$  — параметр Хаббла:  $H \equiv \dot{a}(t)/a(t)$ , а точка обозначает производную по времени. Отметим, что только три из четырёх уравнений (2)–(4) независимы.

Параметр состояния тёмной энергии  $w_{DE}$  можно выразить через  $H$ :

$$w_{DE} = -1 - \frac{2}{3} \frac{\dot{H}}{H^2}. \quad (5)$$

Пересечение барьера космологической постоянной  $w_{DE} = -1$  соответствует изменению знака  $\dot{H}$ .

В предложенной И.Я. Арефьевой модели [17] (см. также [18, 14, 20, 23, 24]) наша Вселенная рассматривается как медленно распадающаяся D3-брана, динамика которой задаётся тахионом открытой струны. Для описания динамики данного тахиона используется метод обрезания по уровням. Примечательной особенностью подобной динамики тахиона является нелокальное полиномиальное взаимодействие [19, 25, 26, 27, 28, 29, 30]. Как показано в [31], тахион открытой струны эффективно моделируется скалярным полем с отрицательным кинетическим членом.

Обратная реакция браны описывается динамикой тахиона замкнутой струны. Скалярное поле  $\xi$  связано с сектором замкнутых струн [32]. Его локальное описание содержит стандартный кинетический член [22] и, возможно, неполиномиальное самодействие [33].

В статье мы рассматриваем локальные модели с эффективными полиномиальными потенциалами  $V(\phi, \xi)$ . Форма этих потенциалов предполагается заданной кубической теорией открытых струн с помощью метода обрезания по уровням [25, 26]. В случае плоского пространства-времени эффективная локальная теория обладает чётным потенциалом четвёртой степени и имеет решения типа кинка. В неплоском случае для сохранения аналитического вида решений нужно рассмотреть чётный потенциал шестой степени, переходящий в пределе плоского пространства-времени в потенциал типа Хиггса [18]. Точная форма взаимодействия открытых и замкнутых струн неизвестна, поэтому, следуя статье [20], мы рассматриваем простейшее полиномиальное взаимодействие.

Мы налагаем на потенциал  $V(\phi, \xi)$  следующие ограничения:

- потенциал — полином шестой степени:

$$V(\phi, \xi) = \sum_{k=0}^6 \sum_{j=0}^{6-k} c_{kj} \phi^k \xi^j, \quad (6)$$

- потенциал является чётным:  $V(\phi, \xi) = V(-\phi, -\xi)$ ,
- Коэффициенты при 5-ой и 6-ой степенях имеют порядок  $1/m_p^2$  и в пределе  $m_p^2 \rightarrow \infty$  получается потенциал четвёртой степени.

Из полевой теории струн мы также предположим асимптотические условия для полей. Напомним, что мы имеем в виду следующую картину. Мы предполагаем, что фантомное поле  $\phi(t)$  плавно движется из нестабильного возмущённого вакуума ( $\phi = 0$ ) в невозмущённый и останавливается в нём. Другими словами функция  $\phi(t)$  обращается в ноль в некоторой точке (пусть  $\phi(0) = 0$ ) и стремится к ненулевой асимптотике при  $t \rightarrow +\infty$ :  $\phi(+\infty) = A$ . Поле  $\xi(t)$  соответствует замкнутой струне и стремится к нулю при  $t \rightarrow +\infty$ .

### 3 МЕТОД СУПЕРПОТЕНЦИАЛА

Гравитационные модели со скалярными полями играют важную роль в космологии и теориях с дополнительными измерениями. Одной из главных проблем исследования подобных моделей является нахождение точных решений неинтегрируемых уравнений движения.

В то же время легко построить потенциал для заданных частных решений. Поистине, если явная форма полей  $\phi(t)$  и  $\xi(t)$  задана, то, используя (3), мы получаем  $H(t)$  с точностью до константы:

$$H(t) = \frac{1}{2m_p^2} \left( \int^t \dot{\phi}^2(\tau) d\tau - \int^t \dot{\xi}^2(\tau) d\tau \right) + C. \quad (7)$$

Потенциал, как функцию времени, можно выразить через  $H(t)$ :

$$V(t) = m_p^2 \left( 3H(t)^2 + \dot{H}(t) \right). \quad (8)$$

Этот прямой метод вычисления потенциала для заданных решений очень эффективен при рассмотрении однополевых моделей и моделей с потенциалом в форме  $V(\phi, \xi) = \exp(\alpha\xi)V_1(\phi)$  или  $V(\phi, \xi) = \exp(\alpha\phi)V_2(\xi)$ , где  $\alpha$  — константа [13]. Для двухполевых моделей с полиномиальным потенциалом данный метод не столь эффективен. Отметим, что вышеупомянутый метод бесполезен при поиске новых решений для построенного потенциала.

В данной статье мы используем метод суперпотенциала и показываем, что этот метод позволяет найти не только потенциал, но и новые точные решения. Метод суперпотенциала был предложен для построения потенциалов, соответствующих точным решениям пятимерной гравитационной модели [34]. Главная идея метода заключается в рассмотрении функции  $H(t)$  (параметра Хаббла в космологии) как функции (суперпотенциала) скалярных полей:  $H(t) = W(\phi(t), \xi(t))$ . Уравнение (3) можно переписать в виде

$$\frac{\partial W}{\partial \phi} \dot{\phi} + \frac{\partial W}{\partial \xi} \dot{\xi} = \frac{1}{2m_p^2} (\dot{\phi}^2 - \dot{\xi}^2). \quad (9)$$

Если найден такой суперпотенциал  $W(\phi, \xi)$ , что следующие соотношения выполнены:

$$\dot{\phi} = 2m_p^2 \frac{\partial W}{\partial \phi}, \quad \dot{\xi} = -2m_p^2 \frac{\partial W}{\partial \xi}, \quad (10)$$

$$V = 3m_p^2 W^2 + 2m_p^4 \left( \left( \frac{\partial W}{\partial \phi} \right)^2 - \left( \frac{\partial W}{\partial \xi} \right)^2 \right). \quad (11)$$

то соответствующие  $\phi(t)$ ,  $\xi(t)$  и  $H(t)$  являются решением системы (2)–(4).

Метод суперпотенциала разделяет систему уравнений (2)–(4) на две части: систему (10), которая как правило интегрируема при заданном полиноме  $W(\phi, \xi)$  и уравнение (11), которое не интегрируемо, если  $V(\phi, \xi)$  — полином, но имеет частные решения в

виде полиномов. Стандартный способ применения метода суперпотенциала не предполагает решения уравнения (11). Потенциал  $V(\phi, \xi)$  строится по заданному  $W(\phi, \xi)$ .

В двухполевых моделях метод суперпотенциала способствует нахождению новых решений. Действительно, дифференциальные уравнения (10) формируют систему второго порядка. Если эта система интегрируема, то мы получаем двухпараметрическое множество решений. Фиксация явного вида полей  $\phi(t)$  и  $\xi(t)$  равносильна заданию однопараметрического множества решений. Метод суперпотенциала позволяет обобщить это множество решений до двухпараметрического множества. С другой стороны, с помощью этого метода можно строить различные формы потенциала, соответствующие одним и тем же однопараметрическим множествам решениям.

Идея рассматривать параметр Хаббла как функцию скалярных полей и преобразовывать (2)–(4) в (10)–(11) используется в формулировке Гамильтона–Якоби уравнений Фрийдмана [35, 36] (см. также [37]) и не связана с теориями суперсимметрии и супергравитации. В то же время метод, основанный на идее использования для поиска точных частных решений вместо исходных уравнений движения системы (10)–(11), активно применяется в двухмерных полевых моделях [38, 39] и супергравитации [40]. Уравнения (10) известны как уравнения Богомольного [41] (см. также [39]). Метод суперпотенциала является комбинацией и естественным расширением этих двух методов. Он активно используется в космологии [18, 20, 42, 43]. Отметим обобщения данного метода на уравнения движения, описывающие замкнутые и открытые фридмановские Вселенные [42], системы с холодной тёмной материей [43] и теорию Бранса–Дикке [44].

## 4 ВЫБОР ПОТЕНЦИАЛА ПО ЗАДАННОМУ РЕШЕНИЮ

В этом разделе мы покажем, что метод суперпотенциала позволяет находить различные формы потенциала  $V(\phi, \xi)$  для одних и тех же  $\phi(t)$ ,  $\xi(t)$  и  $H(t)$ .

Используя асимптотические условия, мы предположим следующую явную форму полей:

$$\phi(t) = A \tanh(\omega t) \quad \text{и} \quad \xi(t) = \frac{A\sqrt{2(1+b)}}{\cosh(\omega t)}, \quad (12)$$

причём  $A > 0$ ,  $\omega > 0$  и  $b > -1$ . Отметим, что эти решения являются естественным обобщением решений типа кинка, полученных в однополевой фантомной модели [18].

Построим потенциал, соответствующий полям (12). Функции  $\phi$  и  $\xi$  — решения следующей системы дифференциальных уравнений:

$$\dot{\phi} = A\omega - \frac{\omega}{A}\phi^2, \quad \dot{\xi} = \omega\xi\sqrt{1 - \frac{\xi^2}{2(1+b)A^2}}. \quad (13)$$

Прямое использование метода суперпотенциала даёт

$$\frac{\partial W}{\partial \phi} = \frac{\omega}{2m_p^2} \left( A - \frac{1}{A}\phi^2 \right), \quad \frac{\partial W}{\partial \xi} = -\frac{\omega\xi}{2m_p^2} \sqrt{1 - \frac{\xi^2}{2(1+b)A^2}}. \quad (14)$$

Следовательно,

$$H \equiv W = \frac{\omega}{6m_p^2} \left( 3A\phi - \frac{\phi^3}{A} - \sqrt{\frac{(2(1+b)A^2 - \xi^2)^3}{2(1+b)A^2}} + H_0 \right), \quad (15)$$

где  $H_0$  — произвольная константа. Различные значения  $H_0$  соответствуют различным  $V(\phi, \xi)$ . Полученные потенциалы

$$V = \omega^2 \left( \frac{(A^2 - \phi^2)^2}{2A} - \frac{\xi^2}{2} + \frac{\xi^4}{4(1+b)A^2} \right) + 3m_p^2 W^2 \quad (16)$$

полиномиальны только в случае плоского пространства-времени ( $m_p^2 = \infty$ ) и не удовлетворяют условиям раздела 2. Чтобы построить полиномиальный потенциал мы используем тот факт, что функции (12) удовлетворяют не только системе (13), но также и следующей системе:

$$\dot{\phi} = Ab\omega \left( \frac{\phi^2}{A^2} - 1 \right) + \frac{\omega\xi^2}{2A}, \quad \dot{\xi} = -\frac{\omega}{A}\phi\xi. \quad (17)$$

Соответствующие параметр Хаббла (суперпотенциал) и потенциал имеют вид (чтобы получить чётный потенциал, мы положили  $H_0 = 0$ )

$$H = \tilde{W} = \frac{\omega\phi}{2m_p^2} \left( Ab \left( \frac{\phi^2}{3A^2} - 1 \right) + \frac{\xi^2}{2A} \right), \quad (18)$$

$$\tilde{V} = \frac{\omega^2}{2} \left( b(\phi^2 - 1) + \frac{1}{2}\xi^2 \right)^2 - \frac{\omega^2}{2A^2}\phi^2\xi^2 + \frac{3\omega^2\phi^2}{4m_p^2} \left( Ab \left( \frac{\phi^2}{3A^2} - 1 \right) + \frac{\xi^2}{2A} \right)^2. \quad (19)$$

Этот пример показывает, что одинаковые функции  $\phi(t)$ ,  $\xi(t)$  и  $H(t)$  могут соответствовать существенно различным потенциалам  $V(\phi, \xi)$ . Кроме того, решения не изменятся при добавлении к потенциалу  $\tilde{V}$  (или  $V$ ) любой функции  $\delta V$ , такой что  $\delta V$ ,  $\partial(\delta V)/\partial\phi$  и  $\partial(\delta V)/\partial\xi$  равняются нулю на решениях. Например,

$$\delta V = K(\phi, \xi) \left[ \phi^2 + \frac{1}{2(1+b)}\xi^2 - A^2 \right]^2, \quad (20)$$

где  $K(\phi, \xi)$  является гладкой функцией.

## 5 ПОСТРОЕНИЕ РЕШЕНИЙ С ПОМОЩЬЮ МЕТОДА СУПЕРПОТЕНЦИАЛА

В предыдущем разделе мы показали, как можно выбрать потенциал для заданных решений. В этом мы продемонстрируем возможность нахождения новых решений с



помощью метода суперпотенциала. Рассмотрим модель с потенциалом (19). Легко заметить, что система (17) имеет не только решения (12), но и тривиальные решения  $\phi(t) = \pm A$ ,  $\xi(t) = 0$ , а также решения

$$\phi(t) = -A \tanh(\omega b(t - t_0)), \quad \xi(t) = 0. \quad (21)$$

Если  $\xi(t) \neq 0$ , то используя второе уравнение системы (17), мы получаем дифференциальное уравнение второго порядка на  $\xi(t)$ :

$$\ddot{\xi}(t) = \omega^2 b \xi(t) - \frac{\omega^2 \xi^3(t)}{2A^2} + \frac{(1-b)\dot{\xi}^2(t)}{\xi(t)}. \quad (22)$$

Решения уравнения (22) получаются в квадратурах

$$t - t_0 = \pm \int \frac{A\sqrt{2(1+b)}\xi^{b-1}}{\omega\sqrt{2A^2\xi^{2b} + 2A^2b\xi^{2b} + \xi^{2b+2} + 2A^2C + 2A^2bC}} d\xi, \quad (23)$$

где  $C$  и  $t_0$  — произвольные константы. Для некоторых значениях параметра  $b$ , например  $b = -1/2$ , решения системы (17) выписываются явно:

$$\begin{aligned} \phi(t) &= \frac{A((C_1^2 C_2^2 + 4A^2)e^{\omega t} - C_1^2 e^{-\omega t})}{(C_1^2 C_2^2 + 4A^2)e^{\omega t} + 2C_1^2 C_2 + C_1^2 e^{-\omega t}}, \\ \xi(t) &= \frac{4C_1 A^2}{(C_1^2 C_2^2 + 4A^2)e^{\omega t} + 2C_1^2 C_2 + C_1^2 e^{-\omega t}}, \end{aligned} \quad (24)$$

где  $C_1$  и  $C_2$  — произвольные параметры. Легко проверить, что при всех значениях  $C_1$  и  $C_2$ , кроме  $C_1 = 0$ , решения (24) и параметр Хаббла (18) имеют следующие асимптотики:

$$\phi(\pm\infty) = \pm A, \quad \xi(\pm\infty) = 0, \quad H(+\infty) = \frac{A^2 \omega}{6m_p^2}. \quad (25)$$

Таким образом, построена гравитационная модель с двухпараметрическим множеством точных решений. Потенциал и решения удовлетворяют условиям, наложенным с помощью теории струн (см. раздел 2).

Проанализируем свойства полученных решений и космологические следствия. Система (17) инвариантна относительно замены  $\xi(t)$  на  $-\xi(t)$ , таким образом каждому решению  $\phi(t)$  соответствуют два решения  $\pm \xi(t)$ . Отметим, что функция  $\phi(t)$  инвариантна относительно замены  $C_1 \rightarrow -C_1$ , тогда как  $\xi(t)$  меняет знак. Параметр Хаббла зависит от  $\xi^2$ , поэтому без ограничения общности мы можем положить  $C_1 > 0$ .

Система (17) автономна, поэтому из существования решений вида  $\{\tilde{\phi}(t), \tilde{\xi}(t)\}$  следует, что пара функций  $\{\tilde{\phi}(t - t_0), \tilde{\xi}(t - t_0)\}$ , где  $t_0 \in \mathbb{C}$ , тоже должна быть решением. Удобно ввести в (24) новые параметры так, чтобы один из них соответствовал сдвигу по времени. Чтобы для действительных решений можно было наложить ограничение  $t_0 \in \mathbb{R}$ , мы положим  $C_1 = \exp(t_0)$ , используя ограничение  $C_1 > 0$ . Для краткости запиши мы введём вместо  $C_2$  параметр  $C \equiv C_1 C_2$ . Решения (24) получаются в следующем виде:

$$\begin{aligned}\phi(t) &= \frac{A((C^2 + 4A^2)e^{\omega(t-t_0)} - e^{-\omega(t-t_0)})}{(C^2 + 4A^2)e^{\omega(t-t_0)} + 2C + e^{-\omega(t-t_0)}}, \\ \xi(t) &= \frac{4A^2}{(C^2 + 4A^2)e^{\omega(t-t_0)} + 2C + e^{-\omega(t-t_0)}}.\end{aligned}\tag{26}$$

Чтобы сравнить полученные решения с изначальными решениями (12), мы введём новый параметр:  $t_1 = t_0 + t_{00}$ , где

$$t_{00} \equiv -\frac{1}{2\omega} \ln(C^2 + 4A^2).\tag{27}$$

Теперь функции  $\phi(t)$  и  $\xi(t)$  имеют вид:

$$\begin{aligned}\phi(t) &= \frac{A(e^{\omega(t-t_1)} - e^{-\omega(t-t_1)})}{e^{\omega(t-t_1)} + \frac{2C}{\sqrt{C^2+4A^2}} + e^{-\omega(t-t_1)}}, \\ \xi(t) &= \frac{4A^2}{\sqrt{C^2 + 4A^2} \left( e^{\omega(t-t_1)} + \frac{2C}{\sqrt{C^2+4A^2}} + e^{-\omega(t-t_1)} \right)}.\end{aligned}\tag{28}$$

Рассмотрим решения с  $t_1 = 0$ . Легко видеть, что в этом случае

$$\phi(0) = 0, \quad \dot{\phi}(0) = \frac{A\omega\sqrt{C^2 + 4A^2}}{C + \sqrt{C^2 + 4A^2}} > 0 \quad \text{и} \quad \dot{\xi}(0) = 0.\tag{29}$$

Напомним, что мы используем условие  $A > 0$ . Из формулы (3) следует, что  $\dot{H}(0) > 0$ , а из формулы (18), что  $H(0) = 0$ . Таким образом, решения с  $t_1 = 0$  и произвольным  $C$  являются космологическими решениями типа баунс (bounce), иными словами,  $a(t)$  имеет баунс в точке  $t = 0$  (о подобных решениях в космологических моделях с двумя скалярными полями см., например, [45]).

Рассмотрим зависимость поведения параметра Хаббла  $H$  от значения параметра  $C$ . В случае  $C = 0$  имеем решения

$$\phi_0(t) = A \tanh(\omega(t - t_1)) \quad \text{и} \quad \xi_0(t) = \frac{A}{\cosh(\omega(t - t_1))}.\tag{30}$$

При  $t_1 = 0$  мы получаем решения (12) с  $\omega = 1$ . Соответствующий параметр Хаббла

$$H_0 = \frac{A^2\omega}{6m_p^2} \left( 3 \tanh(\omega t) - 2 \tanh^3(\omega t) \right)\tag{31}$$

имеет максимум в точке  $t_{max} = -\ln(\sqrt{2} - 1)/\omega \simeq 0.881/\omega$  и убывает при  $t \rightarrow \infty$ . Поля  $\phi_0$  и  $\xi_0$ , параметр Хаббла  $H_0$  и параметр состояния  $w_{DE}$  представлены на Рис. 1 (мы положили  $A = 1$ ,  $\omega = 1$  и  $m_p^2 = 1/6$ ).

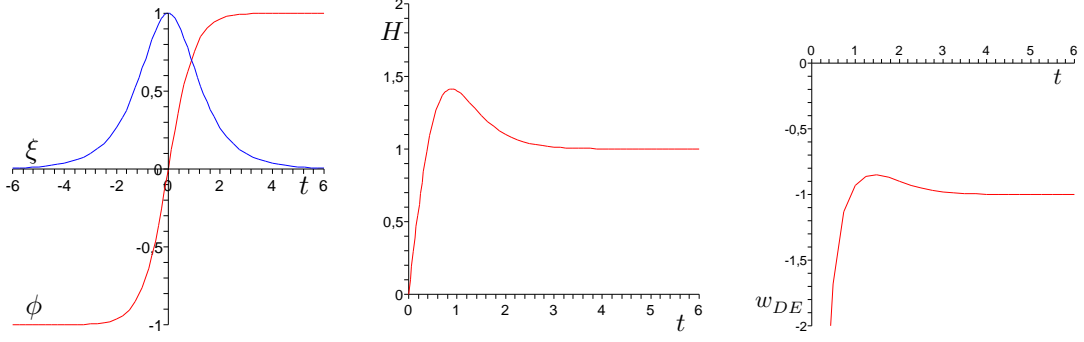


Рис. 1: Поля  $\phi$  и  $\xi$  (левая), параметр Хаббла  $H$  (центральная) и параметр состояния  $w_{DE}$  (правая) при  $C = 0$  и  $t_1 = 0$ .

При произвольном  $C$  параметр Хаббла имеет вид:

$$H = \frac{A^2\omega (e^{\omega(t_0-t)} + (C^2 + 4A^2) e^{\omega(t-t_0)})}{6m_p^2 (e^{\omega(t_0-t)} + 2C + (C^2 + 4A^2) e^{\omega(t-t_0)})^3} \left( e^{2\omega(t_0-t)} + 6C e^{\omega(t_0-t)} + \right. \\ \left. + 10(C^2 + 4A^2) + 6C(C^2 + 4A^2) e^{\omega(t-t_0)} + (C^2 + 4A^2)^2 e^{2\omega(t-t_0)} \right). \quad (32)$$

Прямые вычисления показывают, что для всех  $C$ , кроме  $C = \pm 2A$ ,  $\dot{H}(t) = 0$  в четырёх точках:

$$t_{m_k} = t_0 - \frac{1}{\omega} \ln \left( -\frac{4A^2 + C^2 \pm 2A\sqrt{8A^2 + 2C^2}}{(C \pm 2A)(C^2 + 4A^2)} \right), \quad k = 1, \dots, 4, \quad (33)$$

где 2 символа " $\pm$ " — независимы. Отметим, что при  $C \neq \pm 2A$  выполняется условие  $\ddot{H}(t_{m_k}) \neq 0$ . Следовательно, в точках  $t_{m_k}$  параметр Хаббла  $H(t)$  имеет экстремумы.

При  $C > 2A$  ни одна из точек  $t_{m_k}$  не принадлежит действительной оси.

Если  $C = 2A$ , то  $\dot{H}(t)$  равняется нулю в двух точках, не принадлежащих действительной оси:

$$\tilde{t}_{m_1} = t_0 - \frac{1}{\omega} \ln(-2A) \quad \text{и} \quad \tilde{t}_{m_2} = t_0 - \frac{1}{\omega} \ln(-4A). \quad (34)$$

Таким образом, при  $C \geq 2A$  параметр Хаббла  $H(t)$  является монотонно возрастающей функцией и его поведение напоминает поведение параметра Хаббла в однополевой фантомной модели [18].

При  $-2A < C < 2A$  функция  $H(t)$  имеет экстремумы в двух точках. Если  $t_1 = 0$ , то  $\phi(t)$  — нечётная функция, а  $\xi(t)$  — чётная. Следовательно, соответствующий параметр Хаббла, вычисленный с помощью (18), является нечётной функцией. Легко проверить, что на полуоси  $t > 0$  параметр Хаббла  $H(t)$  положителен и, следовательно, имеет максимум (см. Рис. 2). Таким образом, поведение функции  $H(t)$  при  $-2A < C < 2A$  похоже на её поведение при  $C = 0$ .

Если  $C = -2A$ , то  $\dot{H}(t)$  равняется нулю в двух точках:

$$\tilde{t}_{m_3} = t_0 - \frac{1}{\omega} \ln(2A) \quad \text{и} \quad \tilde{t}_{m_4} = t_0 - \frac{1}{\omega} \ln(4A). \quad (35)$$

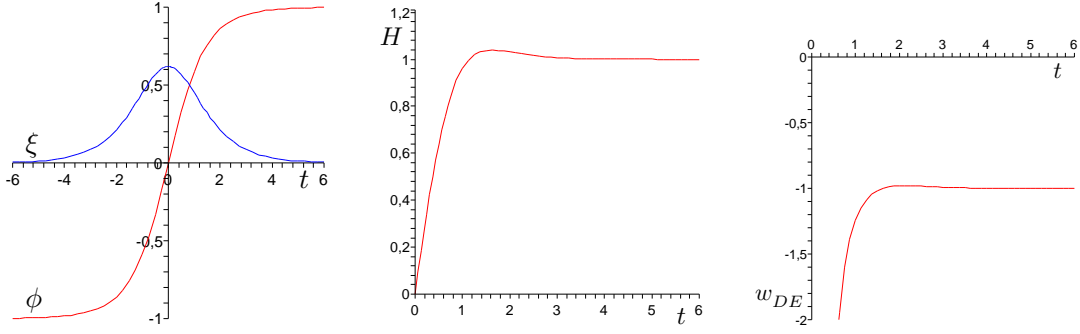


Рис. 2: Поля  $\phi$  и  $\xi$  (левая), параметр Хаббла  $H$  (центральная) и параметр состояния  $w_{DE}$  (правая) при  $A = 1$ ,  $C = 1$  и  $t_1 = 0$ .

Легко проверить, что в этих точках  $\dot{H} \neq 0$ , следовательно, поведение параметра Хаббла качественно не отличается от приведённого на Рисунках 1 и 2.

Рассмотрим случай  $C < -2A$ . Все четыре точки экстремума (33) действительны. Таким образом, выбрав  $C < -2A$ , мы получаем качественно иное поведение параметра Хаббла.

Если  $t_1 = 0$ , то, как отмечалось выше, параметр Хаббла является нечётной функцией. Производная параметра Хаббла в нуле положительна, следовательно,  $H(t)$  имеет максимум в некоторой точке  $t_{m_1} > 0$ , минимум в некоторой точке  $t_{m_2} > t_{m_1}$  и монотонно возрастает при  $t > t_{m_2}$ . Отметим, что  $w_{DE} < -1$  при  $t > t_{m_2}$ . Таким образом, найдены точные решения, соответствующие немонотонной функции  $H(t)$  с фантомным поведением при больших временах (см. Рис. 3).

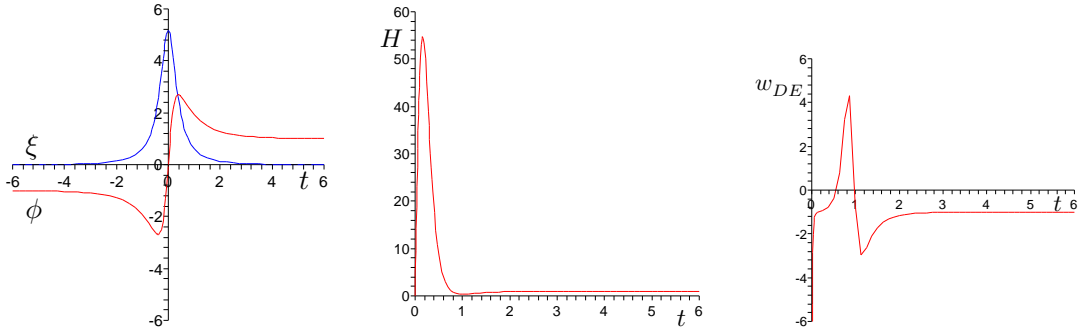


Рис. 3: Поля  $\phi$  и  $\xi$  (левая), параметр Хаббла  $H$  (центральная) и параметр состояния  $w_{DE}$  (правая) при  $A = 1$ ,  $C = -5$  и  $t_1 = 0$ .

Итак, используя метод суперпотенциала, мы нашли для модели с потенциалом

$$\tilde{V} = \omega^2 \left( \frac{1}{8} (1 - \phi^2 + \xi^2)^2 - \frac{1}{2A^2} \phi^2 \xi^2 + \frac{3\phi^2}{4m_p^2} \left( \frac{A}{2} \left( 1 - \frac{\phi^2}{3A^2} \right) + \frac{\xi^2}{2A} \right)^2 \right) \quad (36)$$

двухпараметрическое множество точных решений. Отметим, что полученные решения имеют одинаковые асимптотические условия, тогда как поведение параметра состояния  $w_{DE}$  при больших временах оказывается различным. Таким образом, мы можем

сделать вывод о том, что связанная с теорией струн модель с полиномиальным потенциалом допускает как  $w_{DE} > -1$ , так и  $w_{DE} < -1$  при больших временах.

## 6 ЗАКЛЮЧЕНИЕ

В этой статье мы исследовали динамику двухполевой модели тёмной энергии, с одним фантомным полем и одним обычным скалярным полем. Построенная космологическая модель обладает полиномиальным потенциалом  $V(\phi, \xi)$ , происхождение которого связано с теорией струн. Найдено двухпараметрическое множество точных решений, которое может быть разделено на два подмножества таким образом, что одно подмножество соответствует при больших временах однополевым моделям квинтэссенции, а другое подмножество — однополевым фантомным моделям. Отметим, что оба подмножества полностью состоят из решений, удовлетворяющих одним и тем же асимптотическим условиям.

В статье мы активно используем метод суперпотенциала и показываем, что он позволяет не только строить потенциал для данного решения, но также и находить новые решения. Метод суперпотенциала позволяет расширить однопараметрическое множество решений до двухпараметрического. Использование метода суперпотенциала позволяет разделить исходную систему уравнений движения (2)–(4) на две части. Одна часть — уравнение на суперпотенциал (11), которое в общем случае не интегрируемо, но для многих полиномиальных потенциалов имеет специальные решения в виде полинома. Подстановка этих решений в систему (10) даёт систему однородных дифференциальных уравнений, обычно интегрируемых по крайней мере в квадратурах. Таким образом, метод суперпотенциала позволяет выделить из неинтегрируемой системы уравнений Фридмана интегрируемую подсистему. Отметим, что системы типа (10) активно исследуются в механике. С другой стороны этот метод позволяет делать такую настройку параметров рассматриваемой гравитационной модели, например, такой выбор коэффициентов потенциала, что точные решения существуют в явном виде.

Для решения с  $H(0) = 0$ , мы получаем  $\dot{H}(0) > 0$ . Данные решения известны как баунс (bounce) решения (см. [45]). Отметим, что точные решения типа баунс могут быть получены и в нелокальных струнных космологических моделях [47].

## Благодарности

Автор благодарит А.А. Андрианова, И.Я. Арефьеву и А.Ю. Каменщика за полезные обсуждения. Работа частично поддержана грантом РФФИ 05-01-00758 и грантом министерства Науки и Образования НШ-8122.2006.2.

## Список литературы

- [1] A. Riess *et al.* [Supernova Search Team Collaboration], *Observational Evidence from Supernovae for an Accelerating Universe and a Cosmological Constant*, *Astron. J.* **116**

- (1998) 1009–1038; astro-ph/9805201.
- [2] D.N. Spergel *et al.* [WMAP Collaboration], *First Year Wilkinson Microwave Anisotropy Probe (WMAP) Observations: Determination of Cosmological Parameters*, *Astroph. J. Suppl.* **148** (2003) 175–194; astro-ph/0302209,  
D.N. Spergel *et al.* [WMAP Collaboration], *Wilkinson Microwave Anisotropy Probe (WMAP) Three Year Results: Implications for Cosmology*, *Astrophys. J. Suppl. Ser.* **170** (2007) 377–408; astro-ph/0603449.
- [3] Tegmark *et al.* [SDSS Collaboration], *Cosmological parameters from SDSS and WMAP*, *Phys. Rev.* **D69** (2004) 103501; astro-ph/0310723.
- [4] P. Astier *et al.* [SNLS Collaboration], *The Supernova Legacy Survey: Measurement of  $\Omega_M$ ,  $\Omega_\Lambda$  and  $w$  from the First Year Data Set*, *Astron. Astrophys.* **447** (2006) 31–48; astro-ph/0510447.
- [5] E.J. Copeland, M. Sami, Sh. Tsujikawa, *Dynamics of dark energy*, *Int. J. Mod. Phys.* **D15** (2006) 1753–1936, hep-th/0603057
- [6] Y. Gong, A. Wang, *Reconstruction of the deceleration parameter and the equation of state of dark energy*, astro-ph/0612196.
- [7] U. Alam, V. Sahni, A.A. Starobinsky, *Exploring the Properties of Dark Energy Using Type Ia Supernovae and Other Datasets*, *JCAP* **0702** (2007) 011, astro-ph/0612381
- [8] V. Sahni, A.A. Starobinsky, *Reconstructing Dark Energy*, *Int. J. Mod. Phys.* **D15** (2006) 2105–2132, astro-ph/0610026.
- [9] U. Alam, V. Sahni, T.D. Saina, A.A. Starobinsky, *Is there Supernova Evidence for Dark Energy Metamorphosis?*, *Mon. Not. Roy. Astron. Soc.* **354** (2004) 275; astro-ph/0311364
- [10] A. Vikman, *Can dark energy evolve to the Phantom?*, *Phys. Rev. D* **71** (2005) 023515; astro-ph/0407107.
- [11] Sh. Nojiri, S.D. Odintsov, *Modified gravity and its reconstruction from the universe expansion history*, hep-th/0611071,  
Sh. Nojiri, S.D. Odintsov, *The new form of the equation of state for dark energy fluid and accelerating universe*, *Phys. Lett.* **B639** (2006) 144–150; hep-th/0606025,  
Sh. Nojiri, S.D. Odintsov, *Unifying phantom inflation with late-time acceleration: scalar phantom-non-phantom transition model and generalized holographic dark energy*, *Gen. Rel. Grav.* **38** (2006) 1285–1304; hep-th/0506212,  
Sh. Nojiri, S.D. Odintsov, *Inhomogeneous equation of state of the universe: phantom era, future singularity and crossing the phantom barrier*, *Phys. Rev.* **D72** (2005) 023003; hep-th/0505215,

- Sh. Nojiri, S.D. Odintsov, Sh. Tsujikawa, *Properties of singularities in (phantom) dark energy universe*, Phys. Rev. **D71** (2005) 063004; hep-th/0501025,
- [12] Sh. Tsujikawa 2005, *Reconstruction of general scalar-field dark energy models*, Phys. Rev. **D72** (2005) 083512; astro-ph/0508542,
- S. Nesseris, L. Perivolaropoulos, *Crossing the Phantom Divide: Theoretical Implications and Observational Status*, JCAP **0701** (2007) 018; astro-ph/0610092,
- R. Gannouji, D. Polarski, A. Ranquet, A.A. Starobinsky, *Scalar-Tensor Models of Normal and Phantom Dark Energy*, J. Cosmol. Astropart. Phys. **0609** (2006) 016; astro-ph/0606287,
- В.А. Рубаков, *Фантом без патологий в ультрафиолетовой области*, ТМФ **149** (2006) 409–426 (V.A. Rubakov, *Phantom without UV pathology*, Theor. Math. Phys. **149** (2006) 1651–1664); hep-th/0604153,
- H. Mohseni Sadjadi, M. Alimohammadi, *Cosmological coincidence problem in interacting dark energy models*, Phys. Rev. **D74** (2006) 103007; gr-qc/0610080,
- M. Alimohammadi, H. Mohseni Sadjadi, *The  $w = -1$  crossing of the quintom model with arbitrary potential*, gr-qc/0608016,
- H. Mohseni Sadjadi, M. Alimohammadi, *Transition from quintessence to phantom phase in quintom model*, Phys. Rev. **D74** (2006) 043506; gr-qc/0605143,
- P.S. Apostolopoulos, N. Tetradis, *Late acceleration and  $w = -1$  crossing in induced gravity*, Phys. Rev. **D74** (2006) 064021; hep-th/0604014,
- V. Sahni, Yu. Shtanov, *Brane World Models of Dark Energy*, JCAP **11** (2003) 014, astro-ph/0202346,
- Wen Zhao, Yang Zhang, *The Quintom Models with State Equation Crossing  $-1$* , Phys. Rev. **D73** (2006) 123509; astro-ph/0604460,
- Bo Feng, Xiulian Wang, Xinmin Zhang, *Dark Energy Constraints from the Cosmic Age and Supernova*, Phys. Lett. **B607** (2005) 35–41; astro-ph/0404224,
- Zong-Kuan Guo, Yun-Song Piao, Xinmin Zhang, Yuan-Zhong Zhang, *Cosmological Evolution of a Quintom Model of Dark Energy*, Phys. Lett. **B608** (2005) 177–182; astro-ph/0410654,
- Xiao-Fei Zhang, Hong Li, Yun-Song Piao, *Two-field models of dark energy with equation of state across  $-1$* , Mod. Phys. Lett. **A21** (2006) 231–242; astro-ph/0501652,
- Ming-zhe Li, Bo Feng, Xin-min Zhang, *A single scalar field model of dark energy with equation of state crossing  $-1$* , hep-ph/0503268,
- Hrv. Stefancic, *Dark energy transition between quintessence and phantom regimes — an equation of state analysis*, Phys. Rev. **D71** (2005) 124036; astro-ph/0504518,
- Rong-Gen Cai, Hong-Sheng Zhang, Anzhong Wang, *Crossing  $w = -1$  in Gauss-Bonnet Brane World with Induced Gravity*, Commun. Theor. Phys. **44** (2005) 948–954; hep-th/0505186,

- Yi-Fu Cai, Hong Li, Yun-Song Piao, Xinmin Zhang, *Cosmic Duality in Quintom Universe*, gr-qc/0609039,
- Xin Zhang, *Dynamical vacuum energy, holographic quintom, and the reconstruction of scalar-field dark energy*, Phys. Rev. **D74** (2006) 103505; astro-ph/0609699.
- Hongsheng Zhang, Zong-Hong Zhu, *Crossing  $w = -1$  by a single scalar on a Dvali-Gabadadze-Porrati brane*, Phys.Rev. **D75** (2007) 023510, astro-ph/0611834
- [13] A.A. Andrianov, F. Cannata, A.Yu. Kamenshchik, *Complex Lagrangians and phantom cosmology*, J. Phys. **A39** (2006) 9975–9982; gr-qc/0604126.
- [14] I.Ya. Aref’eva, A.S. Koshelev, *Cosmic acceleration and crossing of  $w = -1$  barrier in non-local Cubic Superstring Field Theory model*, JHEP **0702** (2007) 041; hep-th/0605085
- [15] V.K. Onemli, R.P. Woodard, *Super-Acceleration from Massless, Minimally Coupled  $\phi^4$* , Class. Quantum Grav. **19** (2002) 4607; gr-qc/0204065,
- S.M. Carroll, M. Hoffman, M. Trodden, *Can the dark energy equation-of-state parameter  $w$  be less than  $-1$ ?*, Phys. Rev. **D68** (2003) 023509; astro-ph/0301273.
- St.D.H. Hsu, A. Jenkins, M.B. Wise, *Gradient instability for  $w < -1$* , Phys. Lett. **B597** (2004) 270–274; astro-ph/0406043,
- R.V. Buniy, St.D.H. Hsu, B.M. Murray, *The null energy condition and instability*, Phys. Rev. **D74** (2006) 063518, hep-th/0606091
- B. McInnes, *Phantom Divide in String Gas Cosmology*, Nucl. Phys. **B718** (2005) 55–82; hep-th/0502209
- V. Gorini, A.Yu. Kamenshchik, U. Moschella, V. Pasquier, A.A. Starobinsky, *Stability properties of some perfect fluid cosmological models*, Phys. Rev. **D72** (2005) 103518; astro-ph/0504576.
- E.O. Kahya, V.K. Onemli, *Quantum Stability of a  $w < -1$  Phase of Cosmic Acceleration*, Phys. Rev. **D76** (2007) 043512, gr-qc/0612026.
- [16] I.Ya. Aref’eva, I.V. Volovich, *On the Null Energy Condition and Cosmology*, hep-th/0612098.
- [17] I.Ya. Aref’eva, *Nonlocal String Tachyon as a Model for Cosmological Dark Energy*, AIP Conf. Proc. **826** (2006) 301–311, astro-ph/0410443.
- [18] И.Я. Арефьева, С.Ю. Вернов, А.С. Кошелев, *Точное Решение в Струнной Космологической Модели*, ТМФ **148** (2006) 23–41 (I.Ya. Aref’eva, A.S. Koshelev, S.Yu. Vernov, *Exact Solvitions in a String Cosmological Model*, Theor. Math. Phys. **148** (2006) 895–909); astro-ph/0412619.
- [19] K. Ohmori, *A Review on Tachyon Condensation in Open String Field Theories*, hep-th/0102085;



- I.Ya. Aref'eva, D.M. Belov, A.A. Giriyavets, A.S. Koshelev, P.B. Medvedev, *Noncommutative Field Theories and (Super)String Field Theories*, hep-th/0111208;  
W. Taylor, *Lectures on D-branes, tachyon condensation and string field theory*, hep-th/0301094.
- [20] I.Ya. Aref'eva, A.S. Koshelev, S.Yu. Vernov, *Crossing of the  $w = -1$  Barrier by D3-brane Dark Energy Model*, Phys. Rev. **D72** (2005) 064017; astro-ph/0507067.
- [21] I.Ya. Aref'eva, L.V. Joukovskaya, *Time Lumps in Nonlocal Stringy Models and Cosmological Applications*, J. High Energy Phys. **0510** (2005) 087; hep-th/0504200.
- [22] L.V. Joukovskaya, Ya.I. Volovich, *Energy Flow from Open to Closed Strings in a Toy Model of Rolling Tachyon*, math-ph/0308034.
- [23] I.Ya. Aref'eva, A.S. Koshelev, S.Yu. Vernov, *Stringy Dark Energy Model with Cold Dark Matter*, Phys. Lett. **B628** (2005) 1–10; astro-ph/0505605.
- [24] I.Ya. Aref'eva, A.S. Koshelev, S.Yu. Vernov, *Exact Solutions in  $w < -1$  SFT Inspired Cosmological Models*, Bulgarian J. of Phys., **33, Suppl. 1a** (2006) 360–367.
- [25] I.Ya. Arefeva, D.M. Belov, A.S. Koshelev, P.B. Medvedev, *Tachyon condensation in cubic superstring field theory*, Nucl. Phys **B638** (2002) 3–20; hep-th/0011117.
- [26] I.Ya. Arefeva, D.M. Belov, A.S. Koshelev, P.B. Medvedev, *Gauge invariance and tachyon condensation in cubic superstring field theory*, Nucl. Phys **B638** (2002) 21–40; hep-th/0107197.
- [27] E. Witten, *Noncommutative geometry and string field theory*, Nucl. Phys. **B268** (1986) 253–294;  
E. Witten, *Interacting field theory of open superstrings*, Nucl.Phys. **B276** (1986) 291–324.
- [28] I.Ya. Aref'eva, P.B. Medvedev, A.P. Zubarev, *Background formalism for superstring field theory*, Phys. Lett. **B240** (1990) 356–362;  
I.Ya. Aref'eva, P.B. Medvedev, A.P. Zubarev, *New representation for string field solves the consistency problem for open superstring field*, Nucl. Phys. **B341** (1990) 464–498.
- [29] C.R. Preitschopf, C.B. Thorn, S.A. Yost, *Superstring Field Theory*, Nucl. Phys. **B337** (1990) 363–433;
- [30] N. Berkovits, A. Sen, B. Zwiebach, *Tachyon Condensation in Superstring Field Theory*, Nucl. Phys. **B587** (2000) 147–178, hep-th/0002211.
- [31] I.Ya. Aref'eva, L.V. Joukovskaya, A.S. Koshelev, *Time Evolution in Superstring Field Theory on non-BPS brane. Rolling Tachyon and Energy-Momentum Conservation*, hep-th/0301137.  
I.Ya. Aref'eva, *Rolling tachyon in NS string field theory*, Fortschr. Phys. **51** (2003) 652–657.

- [32] K. Ohmori, *Toward open closed string theoretical description of rolling tachyon*, Phys. Rev. **D69** (2004) 026008; hep-th/0306096.
- [33] B. Zwiebach, *Oriented open-closed string theory revisited*, Annals Phys. **267** (1998) 193–248; hep-th/9705241
- [34] O. DeWolfe, D.Z. Freedman, S.S. Gubser, A. Karch, *Modeling the fifth dimension with scalars and gravity*, Phys. Rev. **D62** (2000) 046008, hep-th/9909134.
- [35] A.G. Muslimov, *On the Scalar Field Dynamics in a Spatially Flat Friedman Universe*, Class. Quant. Grav. **7** (1990) 231–237.
- [36] D.S. Salopek, J.R. Bond, *Nonlinear evolution of long-wavelength metric fluctuations in inflationary models*, Phys. Rev. **D42** (1990) 3936–3962.
- [37] A.R. Liddle, D.H. Lyth, *Cosmological Inflation and Large-scale Structure*, Cambridge, NY, 2000.
- [38] D. Bazeia, M.J. dos Santos, R.F. Ribeiro, *Solitons in systems of coupled scalar fields*, Phys. Lett. **A208** (1995) 84–88; hep-th/0311265.
- [39] D. Bazeia, F.A. Brito, *Bags, junctions, and networks of BPS and non-BPS defects*, Phys. Rev. **D61** (2000) 105019; hep-th/9912015.
- [40] A. Brandhuber, K. Sfetsos, *Non-standart compactifications with mass gaps ans Newton’s law*, J. High Energy Phys. **9910** (1999) 013; hep-th/9908116.
- [41] E.B. Bogomol’nyi, *Stability Of Classical Solutions*, Sov. J. Nucl. Phys. **24** (1976) 449, Yad. Fiz. **24** (1976) 861–870.
- [42] D. Bazeia, C.B. Gomes, L. Losano, R. Menezes, *First-order formalism and dark energy*, Phys. Lett. **B633** (2006) 415–419; astro-ph/0512197;  
D. Bazeia, L. Losano, J.J. Rodrigues, *First-order formalism for scalar field in cosmology*, hep-th/0610028
- [43] D. Bazeia, L. Losano, R. Rosenfeld, *First-order formalism for dust*, astro-ph/0611770
- [44] A.S. Mikhailov, Yu.S. Mikhailov, M.N. Smolyakov, I.P. Volobuev, *Constructing stabilized brane world models in five-dimensional Brans-Dicke theory*, Class. Quantum Grav. **24** (2007) 231–242; hep-th/0602143.
- [45] Yi-Fu Cai, Taotao Qiu, Yun-Song Piao, Mingzhe Li, Xinmin Zhang, *Bouncing universe with quintom matter*, J. High Energy Phys. **0710** (2007) 071; arXiv:0704.1090.
- [46] T. Biswas, A. Mazumdar, W. Siegel, *Bouncing Universes in String-inspired Gravity*, JCAP **0603** (2006) 009; hep-th/0508194
- [47] I.Ya. Aref’eva, L.V. Joukovskaya, S.Yu. Vernov, *Bouncing and Accelerating Solutions in Nonlocal Stringy Models*, J. High Energy Phys. **0707** (2007) 087; hep-th/0701184.

**Сергей Юрьевич Вернов**

**Построение точных решений в двухполевых космологических  
моделях**

Препринт НИИЯФ МГУ 2007–12/833

Работа поступила в ОНТИ 27.11.2007 г.